

Bibliographie générale

Agence de l'Eau Rhône-Méditerranée et Corse (2005) – Qualité des eaux superficielles et souterraines en Rhône – Méditerranée. Situation en 2003, 16p.

Agence de l'Eau Rhône-Méditerranée et Corse (2004) – Qualité des cours d'eau. Réseau National des Bassins Rhône – Méditerranée et Corse. Résultats 2002, 77p.

Agence de l'Eau Rhône-Méditerranée et Corse (2003) – Qualité des cours d'eau. Réseau National de Bassin Rhône – Méditerranée – Corse. Résultats 2001, 75p.

Agence de l'Eau Rhône-Méditerranée et Corse (2001) – Qualité des cours d'eau. Réseau National de Bassin Rhône – Méditerranée – Corse. Résultats 2000, 73p.

Agence de l'Eau Rhône-Méditerranée et Corse (2001) – Qualité des cours d'eau. Réseau National de Bassin Rhône – Méditerranée – Corse. Résultats 1999, 70p.

Agence de l'Eau Rhône-Méditerranée et Corse (1991) – Réseau de surveillance des eaux souterraines dans le département de la Drôme. Synthèse, conclusions et perspectives. 17p.

AICARD P., CAIA J., PERONNE Y., et al. (1974) – District filonien (fluor, baryum, plomb et zinc) des Maures orientales. Réunion Annuelle des Sciences de la Terre, n°2, 1p.

ALABOUVETTE A., PELLET J., ROUIRE J., et al. (1988) - Carte géologique de la France à 1/50000, feuille 887 Génolhac, BRGM ed., 62p.

ALABOUVETTE B., BODEUR Y., MATTEI J., et al. (1987) - Carte géologique de la France à 1/50000, feuille 962 Le Caylar, BRGM ed., 63p.

ANCEL A., MOULIN M., RAMPNOUX N. (2004) – Etat des connaissances géologiques structurales et hydrogéologiques du bassin d'Aix-Gardanne. Rapport BRGM/RP-53238-FR, 114p.

ANTEA Agence Rhône-Alpes. (1999) – Surveillance de la qualité physico-chimique de la nappe alluviale de la Z.I. Au Sud de Lyon (69). Résultat des mesures 1999. Rapport ANTEA n°A18296, 129p.

ANTEA Agence Rhône-Alpes. (1997) – Surveillance de la qualité physico-chimique de la nappe alluviale de la Z.I. Au Sud de Lyon (69). Résultat des mesures 1997. Rapport ANTEA n°A11318, 165p.

ANTEA Agence Rhône-Alpes. (1995) – Surveillance de la qualité physico-chimique de la nappe alluviale de la Z.I. Au Sud de Lyon (69). Résultat des mesures 1995. Rapport ANTEA n°A04372, 133p.

ANTOINE P., BARFETY J.C., VIVIER G., et al. (1993) - Carte géologique de la France à 1/50000, feuille 727 Bourg-Saint-Maurice, BRGM ed., 120p.

ANTOINE P., BARBIER R., BARFETY J.C., et al. (1983) – Carte géologique de la France à 1/50000, feuille 750 La Rochette, BRGM ed., 45p.

ANTOINE P., CORBIN P., OULIANOFF N., et al. (1979) – Carte géologique de la France à 1/50000, feuille 704 Mont Blanc, BRGM ed., 22p.

ARENE J., TEGYEY A., GROS Y., et al. (1977) - Carte géologique de la France à 1/50000, feuille 624 Cluny, BRGM ed., 40p.

ARMAUDRIC DU CHAFFAUT S., CARON J.M., JAUZEIN A., et al. (1983) - Carte géologique de la France à 1/50000, feuille 1114 Venaco, BRGM ed., 41p.

ARTHAUD F., FEIST R., MEDIONI R., et al. (1982) - Carte géologique de la France à 1/50000, feuille 989 Lodève, BRGM ed., 52p.

ARTIGNAN D., CHERY L., HUSSON Y. (1995a) – Valorisation de l'inventaire géochimique du département de l'Ardèche. Rapport BRGM/RP-38398-FR, 22p.

ARTIGNAN D., CHERY L., HUSSON Y. (1995b) – Valorisation de l'inventaire géochimique du département de la Loire. Rapport BRGM/RP-38397-FR, 21p.

ATTEIA O., THELIN P., PFEIFER H.R., et al. (1995) – A search for the origin of cadmium in the soil of the Swiss Jura. *Geoderma*, vol.66, n°3, 149-172.

BAIZE D. (1997) – Teneurs totales en éléments traces métalliques dans les sols. INRA ed., 408p.

BARBIER J., CHERY L. (1999) – Origine des éléments indésirables ou toxiques dans les eaux souterraines. Réalisation d'un inventaire national et essai d'identification de l'origine des teneurs anormales. Rapport BRGM/RP-40448-FR, 51p.

BARBIER J., CHERY L. (1997) – Relation entre fond géochimique naturel et teneurs élevées en métaux lourds dans les eaux. Rapport BRGM/RP-39544-FR, 51p.

BARBIER J., CHERY L. (1995) – Valorisation des données de l'inventaire géochimique pour l'identification des risques de teneurs élevées en métaux lourds dans les eaux. Vol. 1 : étude de faisabilité, 52 p ; vol. 2 : Inventaire géochimique du territoire français : commentaires et explication pour une meilleure exploitation des données, 25 p, rapport BRGM R38721.

BARBIER R., BARFETY J.C., BORDET P., et al. (1977) – Carte géologique de la France à 1/50000, feuille 774 Saint-Jean-de-Maurienne, BRGM ed., 43p.

BARBIER R., BARFETY J.C., BORDET P., et al. (1976) – Carte géologique de la France à 1/50000, feuille 798 La Grave, BRGM ed., 44p.

BARDOSSY G. (1997) – Berthier, les Baux et l'histoire de la bauxite. *Compte-Rendus de l'Académie des Sciences, Série II, Sciences de la Terre et des Planètes*, vol.324, n°12, 1031-1040.

BARFETY J.C., LEMOINE M., MERCIER D., et al. (1996) – Carte géologique de la France à 1/50000, feuille 823 Briançon, BRGM ed., 180p.

BARFETY J.C., APRAHAMIAN J., DEBELMAS J., et al. (1989) - Carte géologique de la France à 1/50000, feuille 821 La Mure, BRGM ed., 98p.

BARFETY J.C., DEBELMAS J., GIDON P., et al. (1984) – Carte géologique de la France à 1/50000, feuille 822 Saint-Christophe-en-Oisans, BRGM ed., 64p.

BARFETY J.C., BORDET P., BORNUAT M., et al. (1972) - Carte géologique de la France à 1/50000, feuille 797 Vizille, BRGM ed., 35p.

BEUCAIRE C., TOULHOAT P. (1987) – Redox chemistry of uranium and iron, radium geochemistry, and uranium isotopes in the groundwater of the Lodeve basin, Massif Central, France. *Applied Geochemistry*, vol.2, 417-426, 1987.

BELLIERE J., OULIANOFF N., BARFETY J.C., et al. (1987) – Carte géologique de la France à 1/50000, feuille 680 Chamonix, BRGM ed., 39p.

BENKÖ D., GROS J.J., CHENEVOYM., et al. (1977) - Carte géologique de la France à 1/50000, feuille 818 Valence, BGRM ed., 51p.

BERGER G., ALABOUVETTE B., BESSIERE G., et al. (1997) – Carte géologique de la France à 1/50000, feuille 1078 Tuchan, BRGM ed., 113p.

BERGER G., DEBAT P., DEMANGE M., et al. (1993) - Carte géologique de la France à 1/50000, feuille 1037 Carcassonne, BRGM ed., 78p.

BERGER G., ELMI S., BROUDER P., et al. (1988) - Carte géologique de la France à 1/50000, feuille 888 Bessèges, BRGM ed., 115p.

BERGER G., LEFEBVRE A., TURC R., et al. (1978) - Carte géologique de la France à 1/50000, feuille 912 Alès, BRGM ed., 58p.

BLUM A., CHERY L., BARBIER J., BAUDRY D., PETELET-GIRAUD E. (2002) – Contribution à la caractérisation des états de référence géochimique des eaux souterraines. Outils et méthodologie. Rapport BRGM/RP-51549-FR.

BORDET P., CHAMLEY H., BLANC J.J., et al. (1976) – Carte géologique de la France à 1/50000, feuille 1065-1080 Hyères-Porquerolles, BRGM ed., 21p.

BOULALON J. (1977) – Les gisements de plomb-zinc-argent du Massif central. *Bulletin du BRGM*, deuxième série, n°2, 67-90, 1977.

BOULADON J., PICOT P. (1968) – Sur la minéralisation en cuivre des ophiolites de Corse, des Alpes françaises et de la Ligurie. *Bull. BRGM*, série II, n°1, 1968, 24-37.

BRGM (2005) – Qualité naturelle des eaux souterraines : Méthodologie et caractérisation des états de références des aquifères français, Collection Guide Technique, Editions du BRGM, 248p.

BRGM (1999) – Expertise sur les origines de la pollution du forage du C.C.T. de la DRIRE. Rapport BRGM/RP-40659-FR.

BRGM (1998) – Mise à disposition de l'inventaire géochimique sur le territoire national. Rapport BRGM/RP-40207-FR.

BRGM (1998), Interprétation géologique des analyses de baryum et arsenic du Bas-Rhin, Rapport BRGM R 40388, 36 p.

BRGM (1997a) – Cartographie des concentrations et des fonds géochimiques métalliques connus du massif des Vosges. Rapport BRGM/RP-39979-FR, 21p.

BRGM (1997b) – Valorisation de l'inventaire minier national, cartographie des concentrations en métaux du département du Rhône. Rapport BRGM/RP-39628-FR, 15p.

BRGM (1997c) – Les métaux lourds dans les eaux destinées à la consommation humaine. Etude de la zone à risques potentiels de la région Balagne-Filosorma. Rapport BRGM/RP-39511-FR, 10p.

BRGM (1997d) – Métaux lourds en Corse du Sud. Rapport BRGM/RP-39840-FR, 49p.

BRGM (1997e) – Gestion des sites (potentiellement) pollués. Editions du BRGM, 40 p., 10 annexes.

BRGM (1996) – Pollution par les métaux lourds des eaux destinées à la consommation humaine, étude de la zone à risque potentiel du Cap Corse. Phase I. Rapport BRGM/RP-38649-FR, 15p.

BRGM (1995a) – Pollution par métaux lourds et arsenic des eaux destinées à la consommation humaine, étude méthodologique du bassin versant de la Bravone. Rapport BRGM/RP-38545-FR, 29p.

BRGM (1995b) – Sécurité des anciennes mines de fer d'Ougney (Jura). Rapport BRGM/RP-38577-FR, 16p.

BRGM (1994) – Risque de pollution par métaux lourds (arsenic) des eaux destinées à la consommation humaine. Identification des zones susceptibles d'être contaminées en liaison avec les indices et travaux miniers en Haute-Corse. Rapport BRGM/RP-38190-FR, 15p.

BRGM (1990) – Etude des ressources en eau dans les nappes profondes. Rapport BRGM N 0042 RHA 093.

BRGM (1985) – Surveillance de la qualité des eaux de la nappe de La Crau. Rapport BRGM 85 SGN 234 PAC, 6p.

BRGM (1982) – Carte des gîtes minéraux de la France à 1/500 000. Feuille Strasbourg, BRGM ed.

BRGM (1980) – Carte des gîtes minéraux de la France à 1/500 000. Feuille Marseille, BRGM ed.

BRGM (1979) – Carte des gîtes minéraux de la France à 1/500 000. Feuille Lyon, BRGM ed.

BUATIER C. (1994) – Caractérisation et analyse de la mobilité et de la biodisponibilité du nickel dans les sols agricoles. Le cas du Pays de Gex (Ain). Etude ADEME, 180p.

BURGEAP (1999a) – Etude diagnostic des rivières et nappes atteintes par la pollution toxique dans le bassin Rhône-Méditerranée-Corse – l'Allan, SDAGE Rhône-Méditerranée-Corse, 18p.

BURGEAP (1999b) – Etude diagnostic des rivières et nappes atteintes par la pollution toxique dans le bassin Rhône-Méditerranée-Corse – l'Ardières, SDAGE Rhône-Méditerranée-Corse, 16p.

BURGEAP (1999c) – Etude diagnostic des rivières et nappes atteintes par la pollution toxique dans le bassin Rhône-Méditerranée-Corse – l'Argens, SDAGE Rhône-Méditerranée-Corse, 16p.

BURGEAP (1999d) – Etude diagnostic des rivières et nappes atteintes par la pollution toxique dans le bassin Rhône-Méditerranée-Corse – l'Arly, SDAGE Rhône-Méditerranée-Corse, 14p.

BURGEAP (1999e) – Etude diagnostic des rivières et nappes atteintes par la pollution toxique dans le bassin Rhône-Méditerranée-Corse – l'Arve, SDAGE Rhône-Méditerranée-Corse, 20p.

BURGEAP (1999f) – Etude diagnostic des rivières et nappes atteintes par la pollution toxique dans le bassin Rhône-Méditerranée-Corse – la Cance, SDAGE Rhône-Méditerranée-Corse, 16p.

BURGEAP (1999g) – Etude diagnostic des rivières et nappes atteintes par la pollution toxique dans le bassin Rhône-Méditerranée-Corse – le Doubs, SDAGE Rhône-Méditerranée-Corse, 29p.

BURGEAP (1999h) – Etude diagnostic des rivières et nappes atteintes par la pollution toxique dans le bassin Rhône-Méditerranée-Corse – le Drac, SDAGE Rhône-Méditerranée-Corse, 20p.

BURGEAP (1999i) – Etude diagnostic des rivières et nappes atteintes par la pollution toxique dans le bassin Rhône-Méditerranée-Corse – le Gard, SDAGE Rhône-Méditerranée-Corse, 25p.

BURGEAP (1999j) – Etude diagnostic des rivières et nappes atteintes par la pollution toxique dans le bassin Rhône-Méditerranée-Corse – Gardon d'Alès, SDAGE Rhône-Méditerranée-Corse, 21p.

BURGEAP (1999k) – Etude diagnostic des rivières et nappes atteintes par la pollution toxique dans le bassin Rhône-Méditerranée-Corse – le Gier, SDAGE Rhône-Méditerranée-Corse, 22p.

BURGEAP (1999l) – Etude diagnostic des rivières et nappes atteintes par la pollution toxique dans le bassin Rhône-Méditerranée-Corse-Hérault, SDAGE Rhône-Méditerranée-Corse, 25p.

BURGEAP (1999m) – Etude diagnostic des rivières et nappes atteintes par la pollution toxique dans le bassin Rhône-Méditerranée-Corse – le Réal Martin, SDAGE Rhône-Méditerranée-Corse, 16p.

BURGEAP (1999n) – Etude diagnostic des rivières et nappes atteintes par la pollution toxique dans le bassin Rhône-Méditerranée-Corse – la Turbine, SDAGE Rhône-Méditerranée-Corse, 17p.

BURGEAP (1999o) – Etude diagnostic des rivières et nappes atteintes par la pollution toxique dans le bassin Rhône-Méditerranée-Corse – le Var et sa nappe alluviale, SDAGE Rhône-Méditerranée-Corse, 24p.

BUSSE J.F. (1980) – La pollution dans la nappe des formations quaternaires de l'Est de Lyon (France). Thèse, université de Grenoble.

CAMPREDON R., BIJU-DUVAL B., CASTELAIN J., et al. (1980) – Carte géologique de la France à 1/50000, feuille 945 Entrevaux, BRGM ed., 18p.

CELARDIN F., CHATENOUX L., ERSU P. (1989) – Métaux lourds dans les sols du Bassin Genevois. Archives des sciences, Genève, vol.42, 493-498.

CHAPAT M., BAYLET R. (1984) – Relations entre agressivité et concentration en plomb, zinc et cuivre dans les eaux de distribution de la Lozère. Techniques et Sciences Municipales, n°2, 73-80.

CHAROLLAIS J., RUCHAT C., GINET C., et al. (1986) - Carte géologique de la France à 1/50000, feuille 678 Annecy-Bonneville, BRGM ed., 139p.

CHAUVE P., MANIA J., MIGNOT C., et al. (1986) – Paramètres physico-chimiques, lithologiques et hydrologiques influençant l'évolution dans le temps des teneurs en fer et en manganèse ; critique des résultats obtenus sur des champs expérimentaux de la plaine alluviale de la Saône (Franche-Comté). Journal of Hydrogeology, vol.86, n°3/4, 367-390, 1 octobre 1986.

CHENEVOY M., SAHUC S., SERANO J.J., et al. (1998) - Carte géologique de la France à 1/50000, feuille 769 Annonay, BRGM ed., 84p.

CHERMETTE A. (1975) – L'ancienne mine de manganèse de Romanèche (Saône-et-loire). Supplément au Bulletin mensuel de la Société Linnéenne de Lyon, 44e année, n°3, mars 1975.

CONCHON O., GAUTHIER A., MARRE J. (1986) - Carte géologique de la France à 1/50000, feuille 1126 Roccapina, BRGM ed., 47p.

CONCHON O., GAUTHIER A., MARRE J. (1984a) - Carte géologique de la France à 1/50000, feuille 1123 Sartène, BRGM ed., 62p.

CONCHON O., GAUTHIER A., ROSSI P., et al. (1984b) - Carte géologique de la France à 1/50000, feuille 1120 Ajaccio, BRGM ed., 44p.

COULON M., PAICHELER J.C., GUERIN H. (1986) - Carte géologique de la France à 1/50000, feuille 412 Thann, BRGM ed., 137p.

COULON M. (1979) – Milieux de sédimentation, strontium et manganèse dans les calcaires à entroques de Bourgogne (Jurassique moyen). Bulletin de la Société Géologique de France, vol. 21, n°6, 681-685.

CROUZET J., TOLLON F., et al. (1980) – Le gisement stratiforme et filonien de Salsigne, Aude. Mémoires du BRGM, n°112, Gisements Français, Fascicule E8, 54p.

DARMENDRAIL D., BAIZE D., BARBIER J., FREYSSINET P., MOUVET C., SALPETEUR I., WAVRER D. – (2000) Fond géochimique naturel. Etat des connaissances à l'échelle nationale. Rapport BRGM/RP-50518-FR.

DE BLIC P., DELANCE J.H., FLACELIERE G., et al. (1972) - Carte géologique de la France à 1/50000, feuille 499 Gevrey-Chambertin, BRGM ed., 33p.

DE GROULARD P. (1982) – Etude pétrologique et géochimique d'une série métamorphique à concentration de fer : le groupe des Collobrières, massif des Maures (Var). Thèse, Université Lyon I, 171p.

DEBELMAS J. (1989) – Carte géologique de la France à 1/50000, feuille 751 Moûtiers, BRGM ed., 53p.

DEBELMAS J., SHADE J., FABRE J., et al. (1988) – Carte géologique de la France à 1/50000, feuille 775 Modane, BRGM ed., 53p.

DELFOUR J., BEURRIER M., TEGYEY M., et al. (1989) - Carte géologique de la France à 1/50000, feuille 697 Tarare, BRGM ed., 120p.

DEMATTEIS A. (1995) - Typologie géochimique des eaux des aquifères carbonatés des chaînes alpines d'Europe centrale et méridionale. Thèse n°1419, Lausanne, 226p.

DEPREZ N., DURAND M., JURAIN G., et al. (1971) - Carte géologique de la France à 1/50000, feuille 375 Plombières-les-Bains, BRGM ed., 14p.

DEROIN J.P., BENOIT P. (1992) – L'ancienne mine d'argent de Pampailly : minéralisation et contexte tectonique d'un gîte filonien dans la série de la Brévenne (Massif Central, France). *Compte Rendus de l'Académie des Sciences, Série 2*, vol.314, n°12, 1339-1345, 1992.

DDASS de la Haute-Savoie (?) – Etude sur l'arsenic, le baryum et l'antimoine dans les eaux de consommation publique. Département de la Haute-Savoie, 13p.

DUBOIS J.D. (1991) – Typologie des aquifères du cristallin : exemple des massifs des Aiguilles Rouges et du Mont Blanc (France, Italie, Suisse). Thèse n°950, EPFL, Lausanne.

DUBOIS J.D., PARRIAUX A. (1990) – Hydrogeological characteristics of cristalline aquifers. Exemple of the Mont Blanc and Aiguilles rouges massifs (France, Italy and Switzerland); first results. *Memoires of the 22nd Congress of International Association of hydrogeologists*, vol.22, 504-513.

DUMOUSSEAU B., JAUDON P., MASSIANI C., et al. (1990) – Origine du manganèse de la nappe alluviale de Beaucaire (Gard, France). Essai de démanganisation in-situ (procédé Vyredox). *Revue des Sciences de l'Eau*, vol.3, 21-36.

EBERENTZ P. (1990) – Mécanisme de la contamination par le Fe et le Mn du forage de Bange à Arcine (74). Rapport BRGM NT 90 RHA 024, 5p.

EBERENTZ P., MARTELAT M. (1988) – Réhabilitation des forages d'exploitation du syndicat intercommunal des eaux de la Sémine à Arsine (74). Rapport BRGM 88 SGN 066 RHA, 22p.

EDYTEM. (2004) – Suivi chimique qualitatif des nappes de l'Arc et de l'Isère. Rapport réalisé pour le Conseil Général de la Savoie, 26p.

ELBAZ-POULICHET F., GARNIER J.M., MARTIN J.M., et al. (1994) – The conservative behaviour of Trace Metals (Cd, Cu, Ni and Pb) and As in the Surface Plume of Stratified Estuaries : Example of the Rhône River (France). *Estuarine, Coastal and Shelf Sciences*, vol.42, 289-310.

ELBOUCH M. (1996) – Etude physico-chimique des éléments traces (stables et radioactifs) dans les eaux naturelles. Application a eaux du bassin de Lodève (Hérault, France). Thèse de 3^{ème} cycle, Université de Montpellier II, 254 p.

ELLENBERGER F., PLAZIAT J.C., FREZTET P., et al. (1985) - Carte géologique de la France à 1/50000, feuille 1060 Capendu, BRGM ed., 88p.

ELMI S., BUSNARDO R., CLAVEL B., et al. (1989) - Carte géologique de la France à 1/50000, feuille 865 Aubenas, BRGM ed., 170p.

ENGREF. (2002) – Problème de l'arsenic dans l'eau potable en Savoie. Phase 1 : Pré-diagnostic. Rapport réalisé pour le Conseil Général de la Savoie.

FERRANDINI J., GRIOLET C. (2000) – Hydrogéologie de la Corse. Géologues, vol.125-126, 72.73.

FERRARI C., DOMMERGUE A., VEYSSEYRE A., PLANCHON F., BOUTRON C. (2002) – Mercury speciation in the French seasonal snow cover. The Science of the Total Environment, vol.287, 61-69.

FOGLIERINI F., BERNARD A., VERRAES G. (1980a) – Le gisement des Malines (Gard). Mémoires du BRGM, n°112, Gisements Français, Fascicule E5, 56p.

FOGLIERINI F., SAMANA J.C., REY M. (1980b) – Le gisement stratiforme de Largentière (Ardèche). Mémoires du BRGM, n°112, Gisements Français, Fascicule E4, 54p.

FONTEILLES M., LEBLANC D., CLAUZON G., et al. (1993) - Carte géologique de la France à 1/50000, feuille 1090 Rivesaltes, BRGM ed., 119p.

FUCHS Y. (1976) – A propos de quelques exemples de relations entre altérations et concentrations métallifères (Pb, Zn, Cu, U, Ba, Sr, F...) dans le domaine épicontinental. Bulletin de la Société Géologique de France, vol.18, n°1, 91-94, 1976.

FUDRAL S., DEVILLE E., NICOUD G., et al. (1994) - Carte géologique de la France à 1/50000, feuille 776 Lanslebourg-Mont-d'Ambin, BRGM ed., 94p.

GADALIA A., LAURENDON P. (1994), Gestion de la ressource en eau de l'aquifère captif du Bajocien, phase 2 : origine et possibilités de traitement du fluor, BRGM R37917.

GEZE B., PALOC H. (1986) - Carte géologique de la France à 1/50000, feuille 936 Nant, BRGM ed, 51p.

GIDON M., MOULLADE M., MONJUVENT G., et al. (1991) - Carte géologique de la France à 1/50000, feuille 893 Laragne-Montéglin, BRGM ed., 84p.

GIDON M., ARNAUD H., BUFFET G., et al. (1980) - Carte géologique de la France à 1/50000, feuille 845 Saint-Bonnet, BRGM ed., 43p.

GIDON M., BOGDANOFF S., KERCKHOVE C., et al. (1978) – Carte géologique de la France à 1/50000, feuille 896 Larche, BRGM ed., 28p.

GIDON M., BARFETY J.C., et al. (1969) - Carte géologique de la France à 1/50000, feuille 749 Montmélian, BRGM ed., 20p.

GONCALVES G. (2003) - Département des Hautes-Alpes. Inventaire des cavités souterraines (mines et carrières). Rapport BRGM/RP-52090-FR., 237p.

GONCALVES G. (2001) - Département du Var. Inventaire des cavités souterraines (mines et carrières). Rapport BRGM/RP-51151-FR., 318p.

GONCALVES G. (2000a) – Département des Alpes-de-Haute-Provence. Inventaire des cavités souterraines (mines et carrières). Rapport BRGM/RP-50509-FR., 93p.

GONCALVES G. (2000b) – Département des Bouches du Rhône. Inventaire des cavités souterraines (mines et carrières). Rapport BRGM/RP-50510-FR., 278p.

GONCALVES G., SOLAGES S. (2000) - Département du Vaucluse. Inventaire des cavités souterraines (mines et carrières). Rapport BRGM/RP-50142-FR., 115p.

GOUISSET Y., GRAILLAT A. (1985) – Synthèse hydrogéologique de la molasse miocène Bresse-Dombes-Bas-Dauphiné. Rapport BRGM 86 SGN 016 RHA, 206p.

GRAILLAT A. (1987) – Etude du fer et du manganèse dans les nappes alluviales du bassin Rhône-Méditerranée et Corse. Enquête sur quatre tronçons de vallées du bassin. Rapport BRGM 87 SGN 428 RHA, 32p.

GRAVOST M. (1991) – Source de Font Marignane. Recherche des causes possibles de contamination de la source. Rapport BRGM/RP-32702-FR, 3p.

GROUSSET F.E., QUETEL C.R., THOMAS B., et al. (1995) – Anthropogenic vs. Lithogenic origins of trace elements (As, Cd, Pb, Rb, Sb, Sn, Zn) in water column particles : northwestern Mediterranean Sea. *Marine Chemistry*, vol.48, 291-310.

GUIEU G., LÖYE-PILOT M.D., MATHELY J.N., et al. (1994) - Carte géologique de la France à 1/50000, feuille 1111 Cervione, BRGM ed., 50p.

GUITARD G., GEYSSANT J., LAUMONIER B., et al. (1998) - Carte géologique de la France à 1/50000, feuille 1095 Prades, BRGM ed., 198p.

HESSKE S., PARRIAUX A., BENSIMON M. (1997) – Geochemistry of springwaters in Molasse aquifers : Typical mineral trace elements. *Ecloga Geologicae Helvetiae*, vol. 90, n°1, 151-171, 1997.

HOLE J.P., GONOD N. (1990) – Schéma départemental d'assainissement de la Drôme. Etat qualitatif de la ressource en eau souterraine. Rapport BRGM/RP-31338-FR, 7p.

HUNEAU F. (2000) – Fonctionnement hydrogéologique et archives paléoclimatiques d'un aquifère profond méditerranéen. Etude géochimique et isotopique du bassin Miocène de Valréas (Sud-Est de la France). Thèse, Université d'Avignon, 191p.

HUYNH-NGOC L., WHITEHEAD N.E., ORGIONI B. (1987) – Cadmium in the Rhône River. *Water Research*, vol. 22, n°5, 571-576.

JAUFFREY D. (2001) – L'arsenic dans les eaux de captages d'eau potable du département de la Saône-et-Loire. Répartition géographique et origine. Rapport BRGM/RP-51290-FR, 14p.

JAUZEIN A., LÖYE-PILOT M.D., ORZAG-SPERBER F. (1976) - Carte géologique de la France à 1/50000, feuille 1119 Ghisonaccia, BRGM ed., 28p.

JAUZEIN A., PERTHUISOT J.P. (1972) - Carte géologique de la France à 1/50000, feuille 602 Tournus, BRGM ed., 16p.

KERCKHOVE C., ROUIRE J., ROUSSET C., et al. (1983) - Carte géologique de la France à 1/50000, feuille 894 Seyne, BRGM ed., 34p.

KERCKHOVE C., ROUX M. (1976) - Carte géologique de la France à 1/50000, feuille 971 Castellane, BRGM ed., 39p.

KERCKHOVE C., PAIRIS J.L., PLAN J., SCHNEEGANS D. (1974) – Carte géologique de la France à 1/50000, feuille 895 Barcelonnette, BRGM ed., 21p.

KERRIEN Y., TURREL C., MONJUVENTG., et al. (1998) - Carte géologique de la France à 1/50000, feuille 654 Annemasse, BRGM ed., 130p.

LAHONDERE J.C., CONCHON O., LAHONDERE D. (1994) - Carte géologique de la France à 1/50000, feuille 1107 Vescovato, BRGM ed., 67p.

LAHONDERE J.C. (1983) – Carte géologique de la France à 1/50000, feuille 1104 Bastia, BRGM ed., 37p.

LANDEL A., ORTELLI L., PERMINGEAT F., PICOT P. (1969) – Sur la minéralisation plombo-zincifère du champ filonien de Vialas (Lozère) : présence de minéraux de tellure, bismuth, d'argent, d'étain, de tungstène et d'or. Bulletin de la Société d'Histoire Naturelle de Toulouse, vol.106, n°3-4, 289-302, 1971.

LANTEAUME N. (1991) - Carte géologique de la France à 1/50000, feuille 948 Viève-Tende, BRGM ed., 129p.

LAVILLE-TIMSIT L. (1989) – Etude des sols en bordure de la rivière La Ligne, Phase 1 : Synthèse des données existantes. Rapport BRGM 89 SGN 504.

LE FORT P., BIJU-DUVAL J., VERNET J., et al. (1980) – Carte géologique de la France à 1/50000, feuille 846 Orcières, BRGM ed., 27p.

LE GUEN M., LANCELOT J.R. (1989) – Origine du Pb-Zn des minéralisations du Bathonien sud-cévenol. Apport de la géochimie isotopique comparée du plomb des galènes, et leur encaissant et du socle. Chronique de la Recherche Minière, n°495, 31-36, 1989.

LEPINE J., TALAYSSAT M., CROUZET J., et al. (1988) – Les minéralisations sulfo-arséniées aurifères cambriennes de la mine traditionnelle de Salsigne (Aude, France). Documents BRGM, vol.158, 627-650.

LONGET A., MADINIER B. (2002) – Aléas liés à l'existence d'anciennes mines de fer sur la commune d'Étupe (Doubs). Rapport BRGM/RP-51345-FR, 17p.

LORENCHET-DE-MONTJAMONT M., TEGYEY A. (1973) - Carte géologique de la France à 1/50000, feuille 650 Belleville, BRGM ed., 21p.

LUCK J.-M. and BEN OTHMAN D. (1998) – Geochemistry and water dynamics II. Trace metals and Pb-Sr isotopes as tracers of water movements and erosion processes. *Chemical Geology* 150, 263-282.

MAILLET-GUY G. (1990) – Hydrogéologie du bassin chambérien : un exemple de système aquifère de vallée glaciaire. *Annales scientifiques de l'université de Besançon*, vol.8.

MANDIA Y. (1991) – Typologie des aquifères évaporitiques du Trias dans le bassin Lémanique du Rhône (Alpes occidentales). Thèse n°948, EPFL, Lausanne.

MANIA J., CHAUVE P., REMY F., et al. (1988) – Evolution of Iron and Manganese Concentrations in Presence of Carbonates and Clays in the Alluvial Groundwaters of the Ognon (Franche-Comté, France). *Geoderma*, vol.44, n°2, 219-227.

MARCOUX E., JOUBERT M., LESCUYER J.L. (1991) – Origine des minéralisations stratiformes de la bordure du Canigou (Pyrénées-orientales, France) : apport de la géochimie isotopique du plomb. *Compte-Rendus de l'Académie des Sciences*, vol.312, série 2 : Mécanique, Physique, Chimie, Sciences de l'Univers, Sciences de la Terre, n°3, 281-287.

MARCOUX E., LESCUYER J.L., MILESI J.P. (1990) – Géochimie isotopique du plomb du gisement de Chessy et des minéralisations volcano-sédimentaires de la série de la Brévenne (Massif Central) : implications métallogéniques et conséquences pour l'exploration. *Chronique de la Recherche Minière*, n°501, 3-11.

MENNESSIER G., ROSSET F., BELLIERE J., et al. (1976) – Carte géologique de la France à 1/50000, feuille 703 Saint-Gervais-les-Bains, BRGM ed., 38p.

MEYBECK M. (1984) – Les fleuves et le cycle géochimique des éléments, Thèse d'état, Université Pierre et Marie Curie, 456p.

MICHARD A.G. (1990) – Synthèse Montagne Noire. Rapport BRGM/RP-30358-FR, 235p.

MINOUX G., THEOBALD N. (1974) - Carte géologique de la France à 1/50000, feuille 374 Monthureux-sur-Saône, BRGM ed., 29p.

Ministère chargé de la Santé (2000) – Les eaux de distribution publique dans le département des Pyrénées Orientales.

NAUD G. (1971) – Contribution à l'Etude Géologique et Hydrogéologique du Massif des Coirons (partie orientale) (Ardèche), Thèse de 3ème cycle, Université Montpellier, 153 p, 3 cartes.

NICOLAS J., DE KERSABIEC A.M. (1970) – Dégradation actuelle de la bauxite à mur karstique du Sud-Est de la France. Recherches sur le mode de transport, par les eaux, de l'alumine, du fer et de la silice. *Compte Rendus Hebdomadaires des Sciences de l'Académie des Sciences, Série D : Sciences Naturelles*, vol.270, n°14, 1739-1742.

OLLIVIER P., RADA KOVITCH O., HAMELIN B. (2005). Unusual variations of dissolved As, Sb and Ni in the Rhône River during flood events. *Journal of Geochemical exploration*, in press.

PAIRIS J.L., PAIRIS B., BELLIERE J., et al. (1993) - Carte géologique de la France à 1/50000, feuille 679 Cluses, BRGM ed., 89p.

PANE-ESCRIBE M.B. (1995) – Utilisation des éléments traces comme traceurs des circulations souterraines en milieu karstique (site de Lamalou, Hérault). Thèse de 3^{ème} cycle, Université de Montpellier II, 297 p.

PANE-ESCRIBE M.B. (1997) – Les éléments traces et leur signification dans les eaux karstiques. *Hydrogeologia*, n°4, 27-32, 1997.

PARRIAUX A. (1997) – The analysis of low concentration mineral traces ; a new tool to determinate the origin of water and its pollution. *International Association of Hydrogeological Sciences*, vol.244, 125-132.

PETELET E., BEN OTHMAN D., LUCK J-M. (1997). Etude des charges dissoute et particulaire dans une rivière méditerranéenne (Vène, Hérault, France) : apport des éléments majeurs, traces et des isotopes du plomb et du strontium sur l'origine et la circulation des eaux et des charges transportées. *C. R. Acad. Sci. Paris*, 324, serie II a, 753-761.

PETELET E., LUCK J-M., BEN OTHMAN D., NEGREL P., AQUILINA L. (1998). Geochemistry and water dynamics of a medium-sized watershed: the Hérault, southern France. 1. Organisation of the different water reservoirs as constrained by Sr isotopes, major, and trace elements. *Chemical Geology* 150, 63-83.

PETELET-GIRAUD E., NEGREL P., LUCK J.M., BEN OTHMAN D. (2004) – Transport de métaux lourds sous forme particulaire et dissoute dans le bassin versant de l'Hérault : identification des origines par les isotopes du plomb. *La Houille Blanche*, n°2, 43-48, 2004.

PETELET-GIRAUD E. (1998) – Application de la géochimie à l'étude des mouvements d'eau à moyenne et à petite échelle : les bassins versants de l'Hérault et de la Peyne (S.France). Thèse, Université Montpellier II, 512p.

PHILIP H., BODEUR Y., SEGURET M., et al. (1978) - Carte géologique de la France à 1/50000, feuille 963 Saint-Martin-de-Londres, BRGM ed., 27p.

PLANCHEREL R., CARON C., BROQUET P. (1998) - Carte géologique de la France à 1/50000, feuille 655 Samoëns Pas-de-Morgins, BRGM ed., 110p.

RAMPNOUX N., ANCET A., GANGNANT V. (2004) – Suivi qualitatif de la nappe de la basse vallée du Var (Alpes-Maritimes). Rapport BRGM/RP-53113-FR.

Rapport du Ministère chargé de la Santé (2000) – Les eaux de distribution publique dans le département des Pyrénées Orientales.

REMOND C., GUENOT B., BRIOTET H., et al. (1984) - Carte géologique de la France à 1/50000, feuille 526 Beaune, BRGM ed., 53p.

ROSSI P., DURAND-DELGA M., LOHONDERE J.C., et al. (2001) - Carte géologique de la France à 1/50000, feuille 1106 Santo-Pietro-di-Tenda, BRGM ed., 224p.

ROSSI P., DURAND-DELGA M., CARON J.M., et al. (1994) - Carte géologique de la France à 1/50000, feuille 1110 Corte, BRGM ed., 150p.

ROUIRE J., MENNESSIER G., MODRET D., et al. (1979) - Carte géologique de la France à 1/50000, feuille 1022 Brignoles, BRGM ed., 30p.

ROUIRE J., BLANC J.J., CARON J.P., et al. (1974) - Carte géologique de la France à 1/50000, feuille 1045 Cuers, BRGM ed., 28p.

ROUIRE J., GOUVERNET C., BLANC J.J., et al. (1969) - Carte géologique de la France à 1/50000, feuille 1064 Toulon, BRGM ed., 23p.

ROUSSET C. (1967) – Sur la nature et la genèse des minerais de fer du Haut-Var ; leurs relations avec la paléogéographie locale. Rapports et différences avec les formations bauxitiques et les « terra-rossa ». Bulletin de la Société Géologique de France, vol.9, n°4, 640-651, 1968.

SALMINEN R., BATISTA M.J., BIDOVEC M., DEMETRIADES A., DE VIVO B., DE VOS W., DURIS M., GILUCIS A., GREGORAUSKIENE V., HALAMIC J., HEITZMANN P., LIMA A., JORDAN G., KLAVER G, KLEIN P., LIS J., LOCUTURA J., MARSINA K., MAZREKU A., O'CONNOR P.J., OLSSON S.A., OTTESEN R. T., PETERSELL V., PLANT J.A., REEDER S., SALPETEUR I., SANDSTROM H., SIEWERS U., STEENFELT A., TARVEINEN T. (2005) – Geochemical Atlas of Europe. Part 1 – Background information, methodology and maps. 526 p., 36 figures, 362 maps.

SALPETEUR I. (1993) – Synthèse régionale des Pyrénées Orientales. Rapport BRGM/RP-37780-FR.

SAMANA J.C. (1970) – Description et interprétation d'une concentration d'antimoine en milieu lagunaire : l'indice de stibine de Charmes-sur-Rhône. Bulletin du BRGM, Section II, n°2, 11p.

SIDER H., GAGNY C., MOUTERDE R., et al. (1988) - Carte géologique de la France à 1/50000, feuille 673 Amplepuy, BRGM ed., 81p.

SONNEY R., BLUM A., CHERY L. (2005) – Identification des zones à risque de fond géochimique élevé en éléments traces dans les cours d'eau et les eaux souterraines du bassin Rhône – Méditerranée et Corse. Rapport de phase 1. Recueil des données et des informations. Rapport BRGM RP-54031-FR, 135p.

SOULE DE LAFOND D., LHEGU J. (1980) – Les gisements stratiformes de fluorine du Morvan (Sud-Est du bassin de Paris, France). Mémoires du BRGM, n°112, Gisements Français, Fascicule E2, 39p.

SUAIS M.F., GADALIA A. (1990) – Réhabilitation de la qualité des eaux de La Ligne à l'Argentière (07). Rapport BRGM/RP-30506-FR.

SUAIS M.F., GOUISSET Y., RAMPON G., et al. (1984) – Photographie de la qualité des eaux brutes des nappes de la région Rhône-Alpes. Rapport BRGM 84 AGI 203 RHA, 30p.

SYLVESTRE J.P. (2000) – Présentation générale de l'hydrogéologie de la région PACA. Géologie, vol.125-126, 63-67.

THEOBALD N., THIEBAUT J., ROSSI M., et al. (1974) - Carte géologique de la France à 1/50000, feuille 411 Giromagny, BRGM ed., 23p.

THEOBALD N. (1968) - Carte géologique de la France à 1/50000, feuille 410 Luxeuil-les-bains, BRGM ed., 8p.

TOUTIN-MORIN N., CREVOLA G., GIRAUD J.D., et al. (1994) - Carte géologique de la France à 1/50000, feuille 1024 Fréjus-Cannes, BRGM ed., 187p.

TRAVI Y., BLAVOUX B. (2000) – Quelques problèmes hydrogéologiques majeurs dans le département du Vaucluse. Géologues, vol.125-126, 68-71.

TREFRY J.H., METZ S., TROCINE R., NELSEN T.A. (1985). A decline in lead transport by the Mississippi river. Science 230, 439-441.

TUCKER M.E. (1974) – Ferromanganese nodules from the devonian of the Montagne Noire (S.France) and West Germany. Geologische Rundschau, vol.62, n°1, 137-153.

VALENCIA G. (2000) – Eaux de surface et eaux souterraines en région PACA : une introduction. Géologues, vol.125-126, 61-63, septembre 2000.

VAN DE VELDE K., BARBANTE C., COZZI G., MORET I., BELLOMI T., FERRARI C., BOUTRON C. (2000) – Changes in the occurrence of silver, gold, platinum, palladium and rhodium in Mont Blanc ice and snow since the 18th century. Atmospheric Environment, vol.34, n°19, 3317-3327.

VEYSSEYRE A., MOUTARD A., FERRARI C., VAN DE VELDE K., BARBANTE C., COZZI G., CAPODAGLIO G., BOUTRON C. (2001) – Heavy metals in fresh snow collected at different altitudes in the Chamonix and Maurienne valleys, French Alps : initial results. Atmosphere Environment, vol.35, n°4, 15-25.

Annexe 1

Représentation cartographique des données caractérisant le milieu naturel

Cf : Volume indépendant

Annexe 2

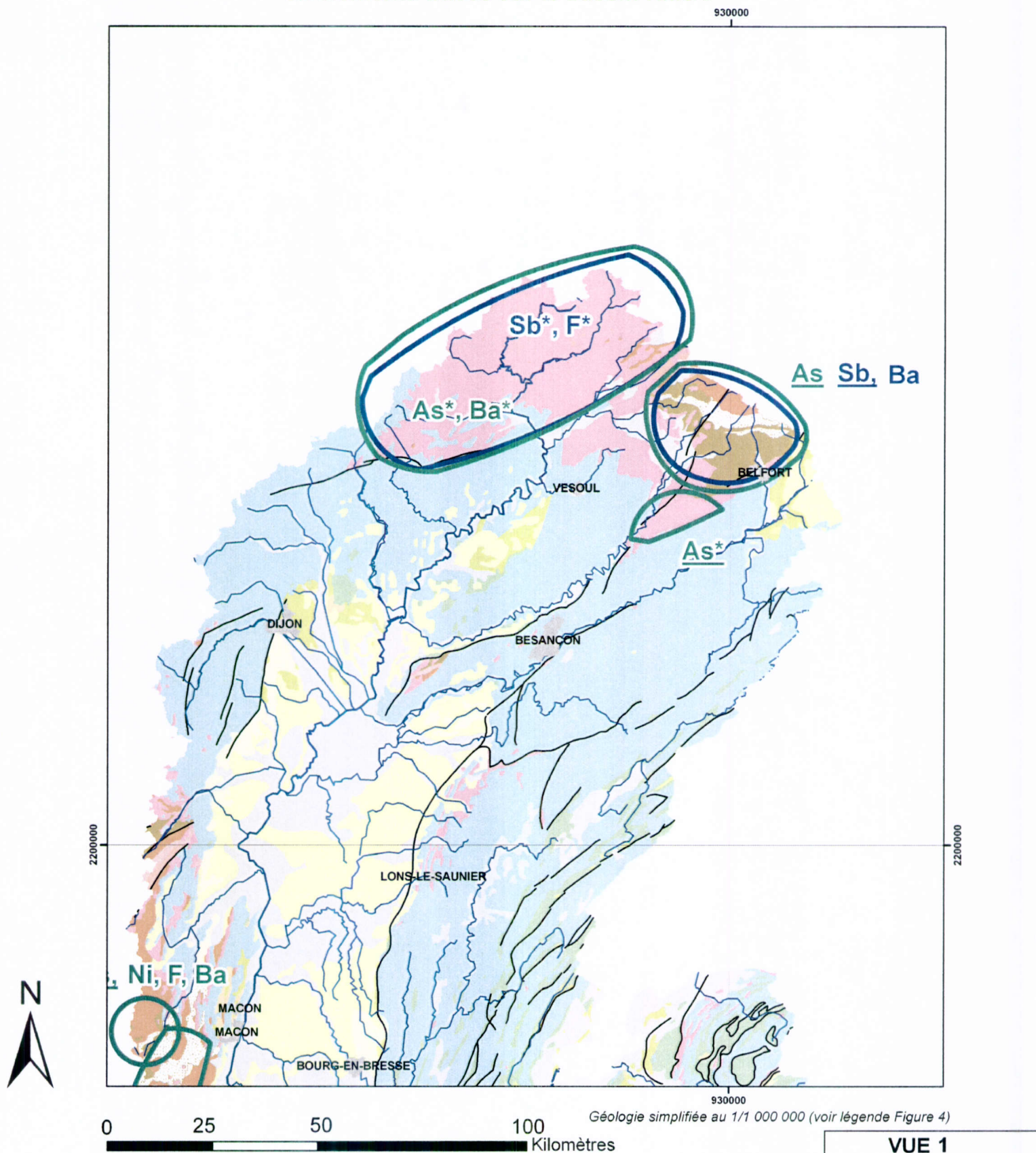
Représentation cartographique des données caractérisant les pressions anthropiques

Cf : Volume indépendant

Annexe 3

Cartographie des secteurs à risque de fond géochimique élevé en éléments traces sur le bassin Rhône-Méditerranée et Corse

Délimitation des zones à risque de fond géochimique élevé
en éléments traces sur le bassin RM&C



Niveau de confiance attribué à la délimitation des zones à risque de fond géochimique élevé

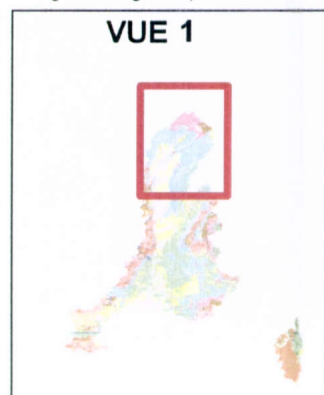


As Fond géochimique élevé en arsenic pour les eaux souterraines

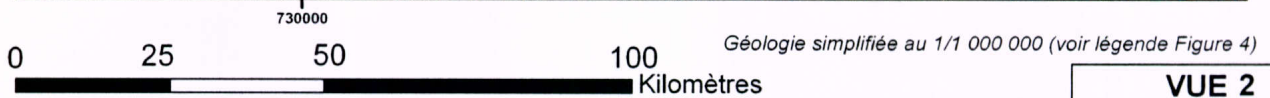
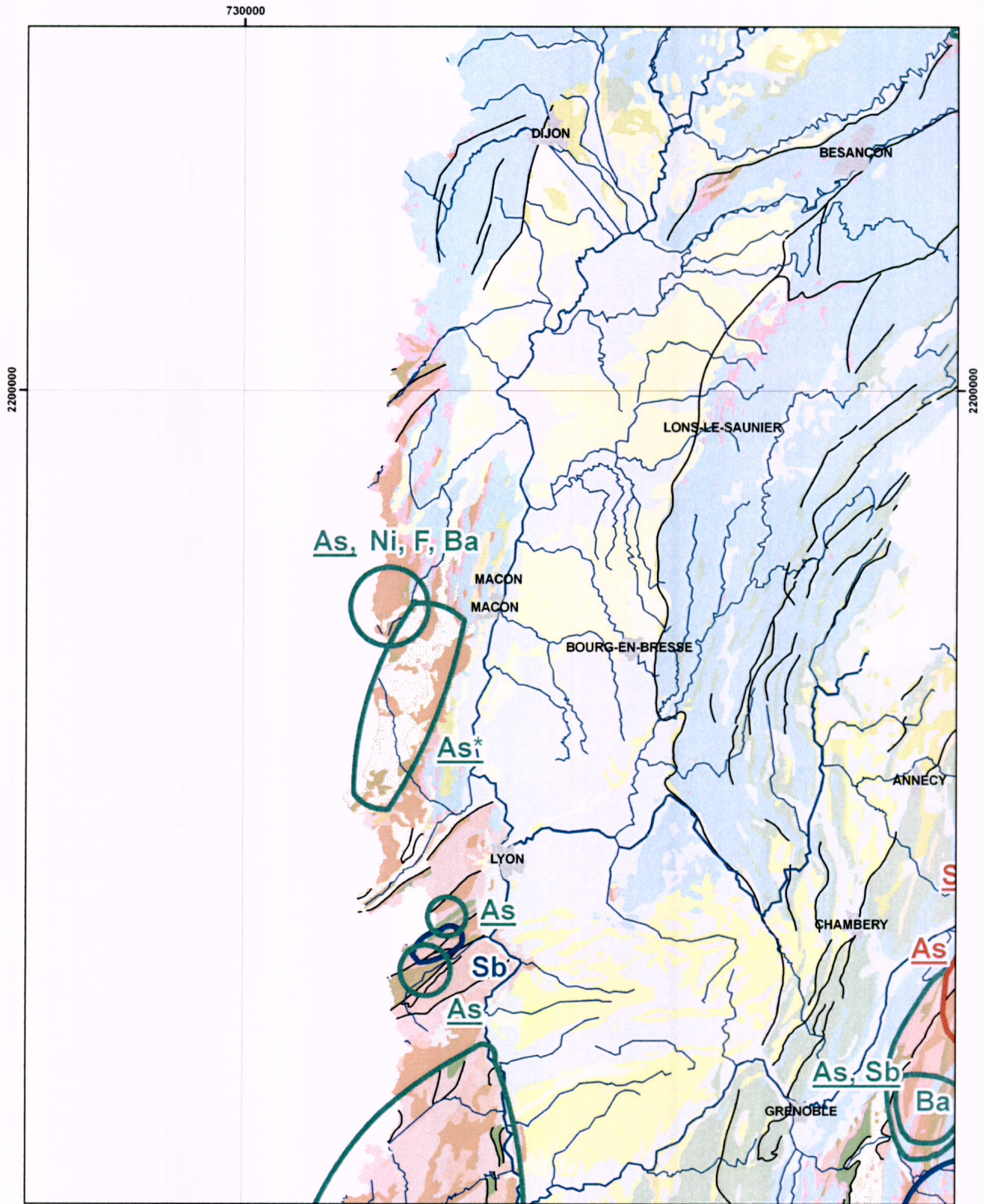
As Fond géochimique élevé en arsenic pour les eaux de surface

As Fond géochimique élevé en arsenic à la fois pour les eaux souterraines et les eaux de surface

As* La présence de l'élément ne concerne que les eaux souterraines des niveaux sous-jacents



Délimitation des zones à risque de fond géochimique élevé
en éléments traces sur le bassin RM&C



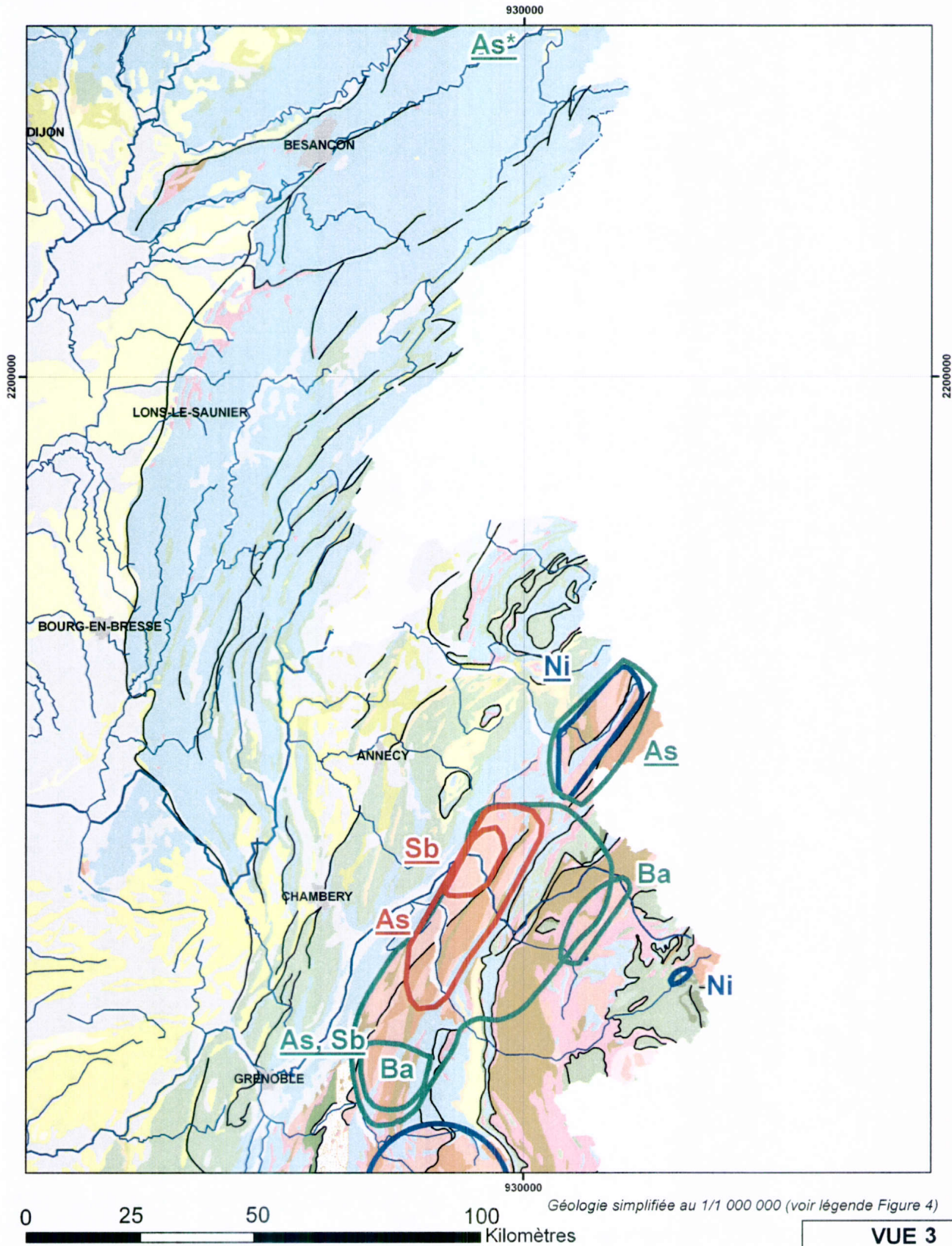
Niveau de confiance attribué à la délimitation des zones à risque de fond géochimique élevé



- As** Fond géochimique élevé en arsenic pour les eaux souterraines
- As** Fond géochimique élevé en arsenic pour les eaux de surface
- As** Fond géochimique élevé en arsenic à la fois pour les eaux souterraines et les eaux de surface
- As*** La présence de l'élément ne concerne que les eaux souterraines des niveaux sous-jacents



Délimitation des zones à risque de fond géochimique élevé
en éléments traces sur le bassin RM&C



Niveau de confiance attribué à la délimitation des zones à risque de fond géochimique élevé

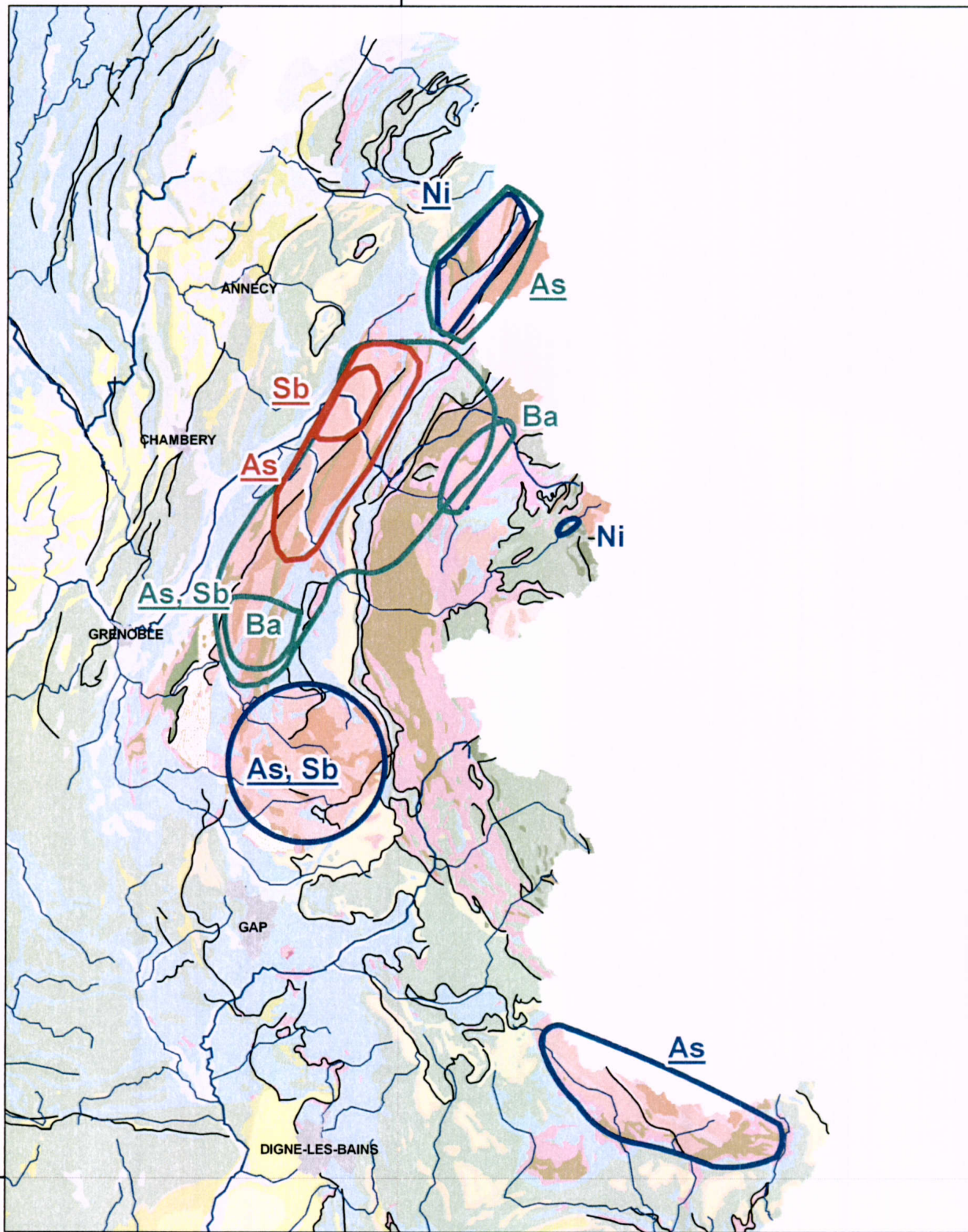


- As** Fond géochimique élevé en arsenic pour les eaux souterraines
- As** Fond géochimique élevé en arsenic pour les eaux de surface
- As** Fond géochimique élevé en arsenic à la fois pour les eaux souterraines et les eaux de surface
- As*** La présence de l'élément ne concerne que les eaux souterraines des niveaux sous-jacents



Délimitation des zones à risque de fond géochimique élevé
en éléments traces sur le bassin RM&C

930000



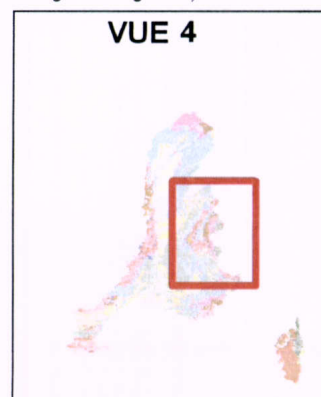
0 25 50 100 Kilomètres

Géologie simplifiée au 1/1 000 000 (voir légende Figure 4)

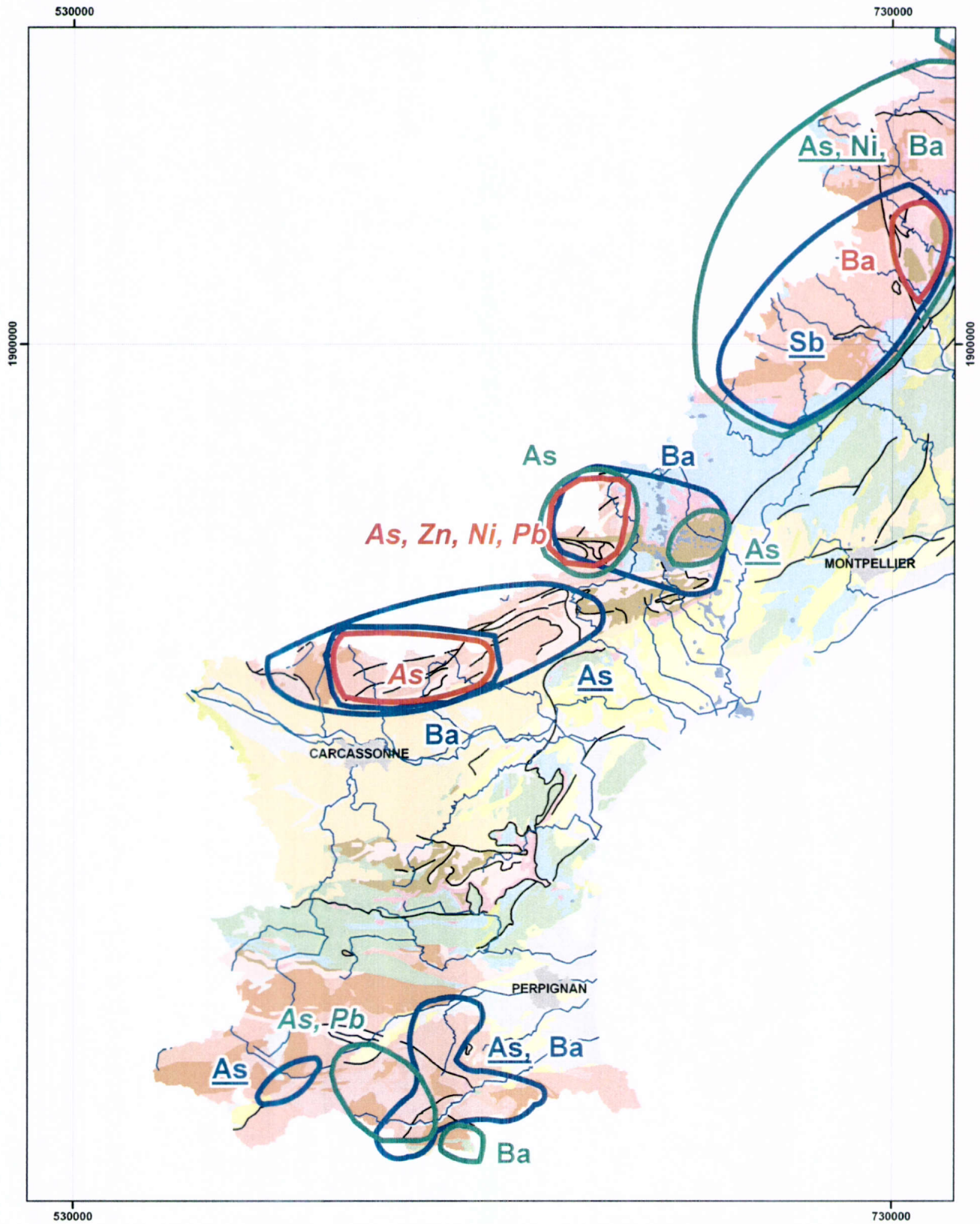
Niveau de confiance attribué à la délimitation des zones à risque de fond géochimique élevé



- As** Fond géochimique élevé en arsenic pour les eaux souterraines
- As** Fond géochimique élevé en arsenic pour les eaux de surface
- As** Fond géochimique élevé en arsenic à la fois pour les eaux souterraines et les eaux de surface
- As*** La présence de l'élément ne concerne que les eaux souterraines des niveaux sous-jacents



Délimitation des zones à risque de fond géochimique élevé
en éléments traces sur le bassin RM&C



0 25 50 100 Kilomètres

Géologie simplifiée au 1/1 000 000 (voir légende Figure 4)

Niveau de confiance attribué à la délimitation des zones à risque de fond géochimique élevé



As Fond géochimique élevé en arsenic pour les eaux souterraines

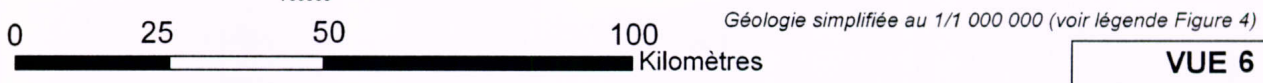
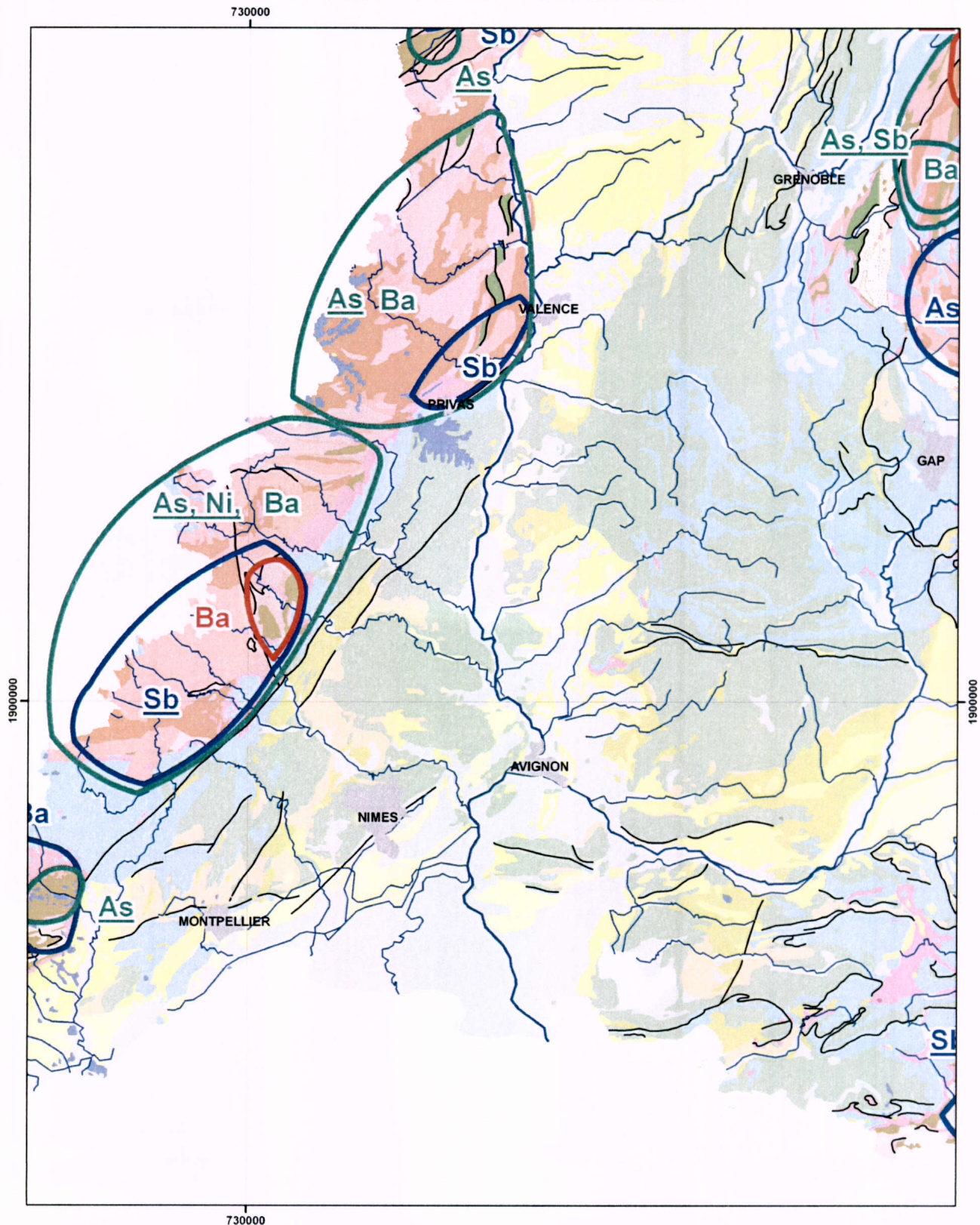
As Fond géochimique élevé en arsenic pour les eaux de surface

As Fond géochimique élevé en arsenic à la fois pour les eaux souterraines et les eaux de surface

As* La présence de l'élément ne concerne que les eaux souterraines des niveaux sous-jacents



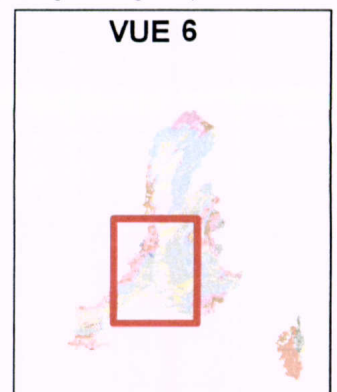
Délimitation des zones à risque de fond géochimique élevé
en éléments traces sur le bassin RM&C



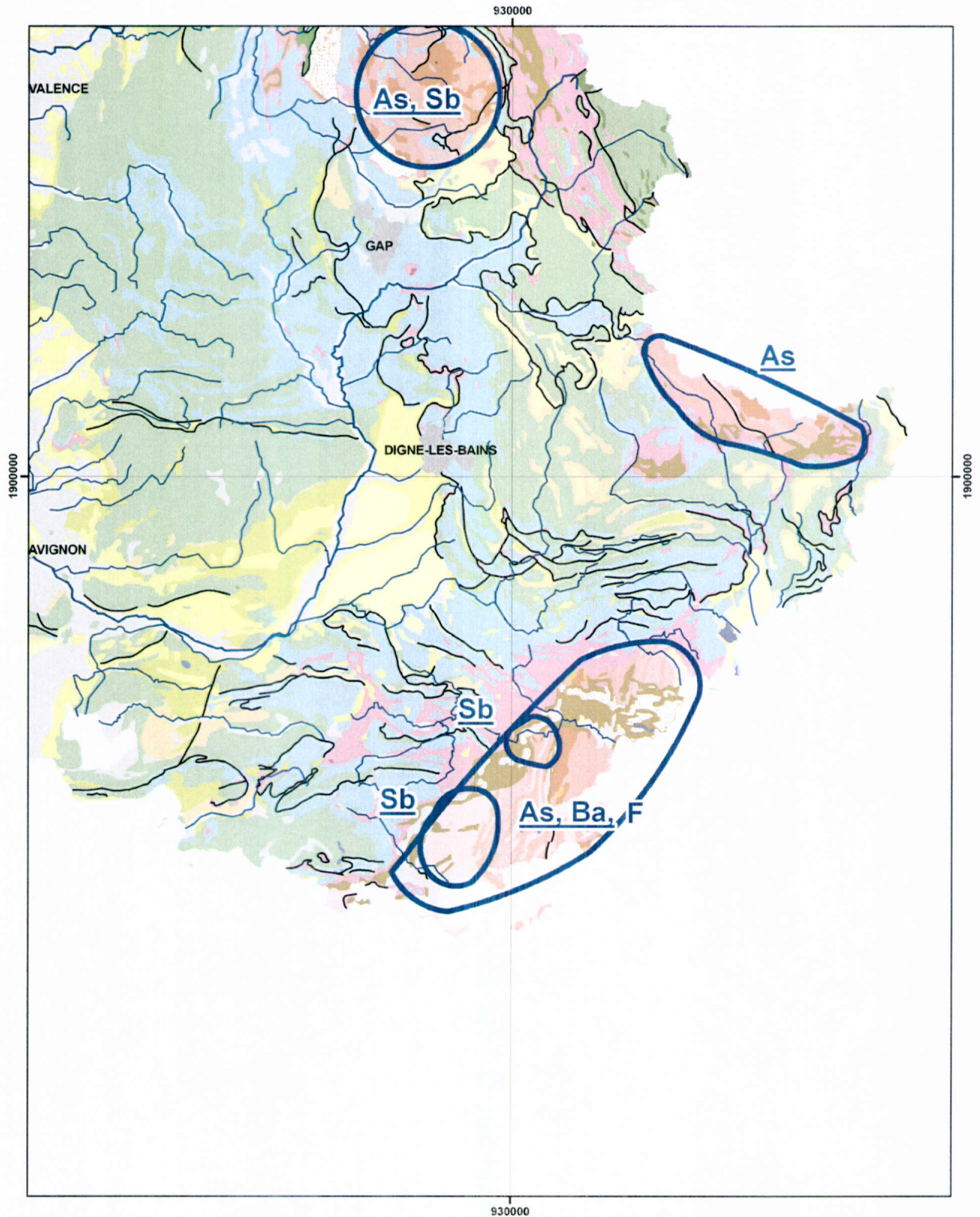
Niveau de confiance attribué à la délimitation des zones à risque de fond géochimique élevé



- As** Fond géochimique élevé en arsenic pour les eaux souterraines
- As** Fond géochimique élevé en arsenic pour les eaux de surface
- As** Fond géochimique élevé en arsenic à la fois pour les eaux souterraines et les eaux de surface
- As*** La présence de l'élément ne concerne que les eaux souterraines des niveaux sous-jacents



Délimitation des zones à risque de fond géochimique élevé
en éléments traces sur le bassin RM&C

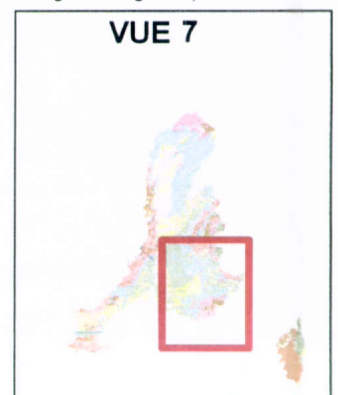


Géologie simplifiée au 1/1 000 000 (voir légende Figure 4)

Niveau de confiance attribué à la délimitation des zones à risque de fond géochimique élevé

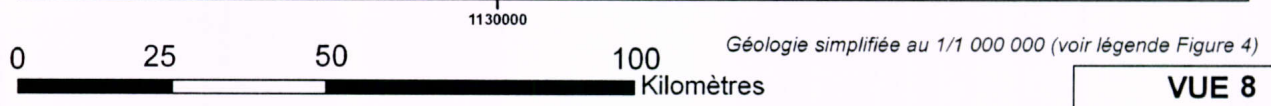
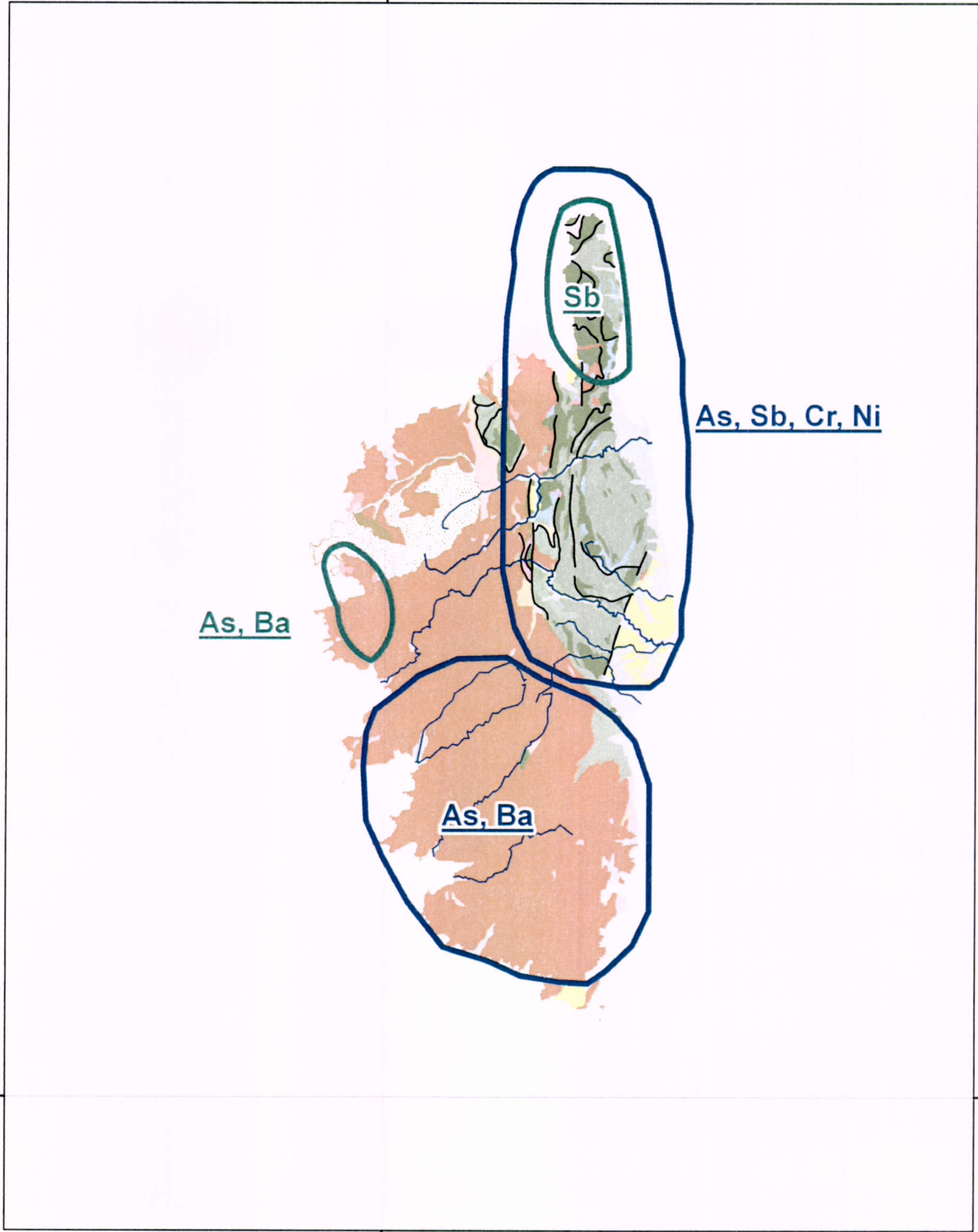


- As** Fond géochimique élevé en arsenic pour les eaux souterraines
- As** Fond géochimique élevé en arsenic pour les eaux de surface
- As** Fond géochimique élevé en arsenic à la fois pour les eaux souterraines et les eaux de surface
- As*** La présence de l'élément ne concerne que les eaux souterraines des niveaux sous-jacents



Délimitation des zones à risque de fond géochimique élevé
en éléments traces sur le bassin RM&C

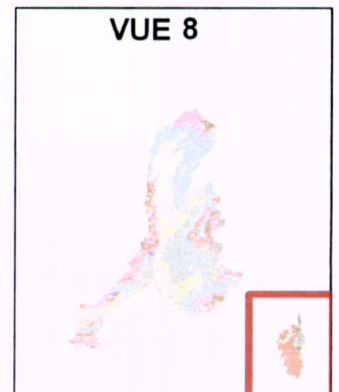
1130000



Niveau de confiance attribué à la délimitation des zones à risque de fond géochimique élevé



- As** Fond géochimique élevé en arsenic pour les eaux souterraines
- As** Fond géochimique élevé en arsenic pour les eaux de surface
- As** Fond géochimique élevé en arsenic à la fois pour les eaux souterraines et les eaux de surface
- As*** La présence de l'élément ne concerne que les eaux souterraines des niveaux sous-jacents





**Centre scientifique et technique
Service EAU/GRI**

3, avenue Claude-Guillemain
BP 6009 – 45060 Orléans Cedex 2 – France – Tél. : 02 38 64 34 34

LETTRE


agence
de l'eau
rhône méditerranée corse
Délégation Régionale de Marseille
62 La Canebière
13001 MARSEILLE

**LETTRE
VERTE**

MARSEILLE ARNAVA
B. DU RHONE
06 08 12
889 LV 019358
5B17 131830

€ R.F.
003,86
LA POSTE
MM 113655

SOLLIER

Environnement
Recherche et d'Expertise
de Antidote pour l'assainissement
de l'eau de Plaquem
Bât. 159
BP 3
13100